

УДК 541.123.3

ДРЕВО ФАЗ, ПРОГНОЗ КРИСТАЛЛИЗУЮЩИХСЯ ФАЗ И ОПИСАНИЕ ХИМИЧЕСКОГО ВЗАИМОДЕЙСТВИЯ В СИСТЕМЕ $MgO-SiO_2-TiO_2$

© 2022 г. И. К. Гаркушин¹, М. А. Сухаренко^{1, *}

¹Самарский государственный технический университет, ул. Молодогвардейская, 244, Самара, 443100 Россия

*e-mail: sukharenko_maria@mail.ru

Поступила в редакцию 01.04.2022 г.

После доработки 21.06.2022 г.

Принята к публикации 24.06.2022 г.

На основании ранее изученной трехкомпонентной оксидной системы $MgO-SiO_2-TiO_2$ построено древо фаз, которое имеет линейное строение и включает пять стабильных треугольников, соединенных между собой четырьмя стабильными секущими. С использованием древа фаз проведен прогноз кристаллизующихся из расплава фаз с учетом элементов огранения, в которых образуются пять двойных соединений. Для пересечений стабильных и нестабильных секущих в точках, отвечающих эквивалентному соотношению веществ, описаны основные реакции химического взаимодействия и проведен термодинамический расчет их направления для стандартных условий. Также для произвольных сочетаний веществ от 3 до 8, входящих в систему, методом атомного баланса описано химическое взаимодействие, в результате которого выявлены симплексы, включающие смеси после расплавления и кристаллизации. Оценка взаимодействия проведена с помощью термодинамических расчетов.

Ключевые слова: трехкомпонентная система, оксиды, древо фаз, стабильные и нестабильные секущие, химическое взаимодействие

DOI: 10.31857/S0002337X22110045

ВВЕДЕНИЕ

Фазовые равновесия в различных солевых и оксидных системах изучены в работах [1–19]. Смеси на основе двойных и тройной системы имеют важное прикладное значение для моделирования и исследования технологических процессов получения периклазовых, магнезитовых, форстеритовых оgneупоров, форстеритовой и стеатитовой радиокерамики, электрокерамики. Кроме реакций образования двойных соединений и тройных смесей, в оксидных системах возможно протекание реакций обмена (метатезиса), если на смежных сторонах треугольника составов образуются двойные соединения, что аналогично взаимодействию во взаимных системах.

Система $MgO-SiO_2-TiO_2$ исследована в работе [20]. Однако проведено только разбиение на пять вторичных фазовых треугольников, не построено древо фаз и не осуществлен прогноз кристаллизующихся фаз. Тройные соединения в системе не образуются. Псевдобинарная эвтектика в сечении $Mg_2SiO_4-Mg_2TiO_4$ плавится при 1910°C. По мнению авторов [20], тройная эвтектика в фазовом треугольнике $MgSiO_3-TiO_2-SiO_2$ плавится

при температуре около 1650°C. Полностью поверхность ликвидуса не изучена.

В настоящей работе предположено построение древа фаз, которое позволяет не только осуществить прогноз кристаллизующихся фаз в стабильных треугольниках и секущих элементах тройной системы, но и описать химическое взаимодействие.

ДРЕВО ФАЗ И ПРОГНОЗ КРИСТАЛЛИЗУЮЩИХСЯ ФАЗ

Данные по фазовым соотношениям в системе $MgO-SiO_2-TiO_2$ приведены в работе [20] (рис. 1). По полученным данным построено древо фаз, имеющее линейное строение (рис. 2), включающее пять стабильных треугольников: $TiO_2-SiO_2-MgSiO_3$, $TiO_2-MgSiO_3-MgTi_2O_5$, $MgSiO_3-Mg_2SiO_4-MgTi_2O_5$, $MgTi_3-Mg_2SiO_4-Mg_2TiO_4$, $Mg_2TiO_4-Mg_2SiO_4-MgO$, соединяющихся между собой четырьмя стабильными секущими $TiO_2-MgSiO_3$, $MgSiO_3-MgTi_2O_5$, $MgTi_3-Mg_2SiO_4$, $Mg_2TiO_4-Mg_2SiO_4$.

Древо фаз позволяет провести прогноз кристаллизующихся фаз в стабильных и секущих элементах системы $MgO-SiO_2-TiO_2$ с учетом данных по

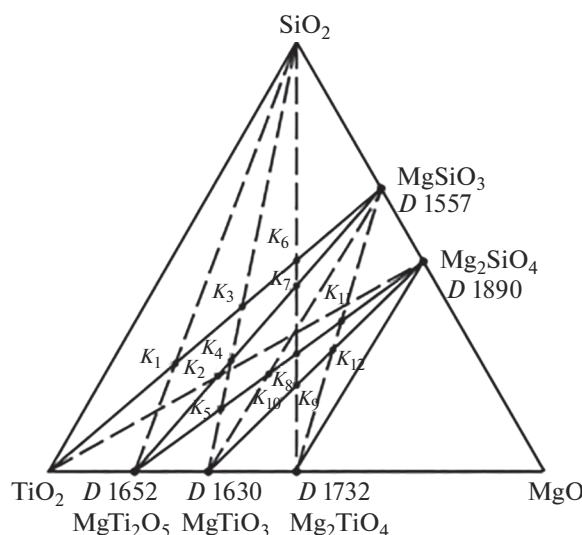


Рис. 1. Стабильный и нестабильный комплексы системы $\text{MgO}-\text{SiO}_2-\text{TiO}_2$.

ограничивающим элементам и индивидуальным веществам (табл. 1–3) [20, 21]. Кристаллизующиеся фазы представлены в основном индивидуальными веществами, кроме Mg_2TiO_4 , который образует со стороны MgO ограниченный твердый раствор (ОТР) (табл. 3). Также Mg_2TiO_4 образует в Mg_2SiO_4 ОТР до 4 мас. % Mg_2TiO_4 [20].

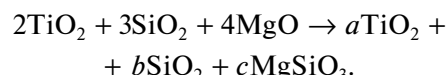
ОПИСАНИЕ ХИМИЧЕСКОГО ВЗАИМОДЕЙСТВИЯ

Основные реакции химического взаимодействия описываются в точках пересечения ста-

бильных и нестабильных секущих аналогично описанию взаимодействия во взаимных системах [22–24]. Точки пересечения K являются диагоналями четырехугольников в тройных системах (табл. 4) [25, 26]. В табл. 5 приведены расчетные значения энталпий и энергий Гиббса реакций обмена, протекающих в системе. Анализ табл. 5 показывает, что одной стабильной секущей может отвечать несколько нестабильных секущих (при различном соотношении нестабильных веществ). В табл. 6 стабильным секущим $\text{TiO}_2-\text{MgSiO}_3$, $\text{MgSiO}_3-\text{MgTi}_2\text{O}_5$ и $\text{Mg}_2\text{SiO}_4-\text{MgTi}_2\text{O}_5$ отвечают по три нестабильных секущих, а стабильной секущей $\text{MgTi}_3-\text{Mg}_2\text{SiO}_4$ – две нестабильных секущих.

Кроме основных реакций в точках эквивалентности K , могут протекать реакции и фазовые превращения после расплавления и кристаллизации смесей из 3...8 соединений. Для их идентификации необходимо применить метод атомного баланса в левой и правой частях уравнений при переборе симплексов [20].

Возьмем исходную смесь оксидов в соотношении $2\text{TiO}_2 + 3\text{SiO}_2 + 4\text{MgO}$ и определим, в какой симплекс после расплавления и кристаллизации попадает смесь. Рассмотрим симплекс $\text{TiO}_2-\text{SiO}_2-\text{MgSiO}_3$ и запишем правую часть уравнения с неизвестными коэффициентами при веществах:



Приравняем число атомов Ti, Si и Mg в левой и правой частях уравнения реакции и составим си-

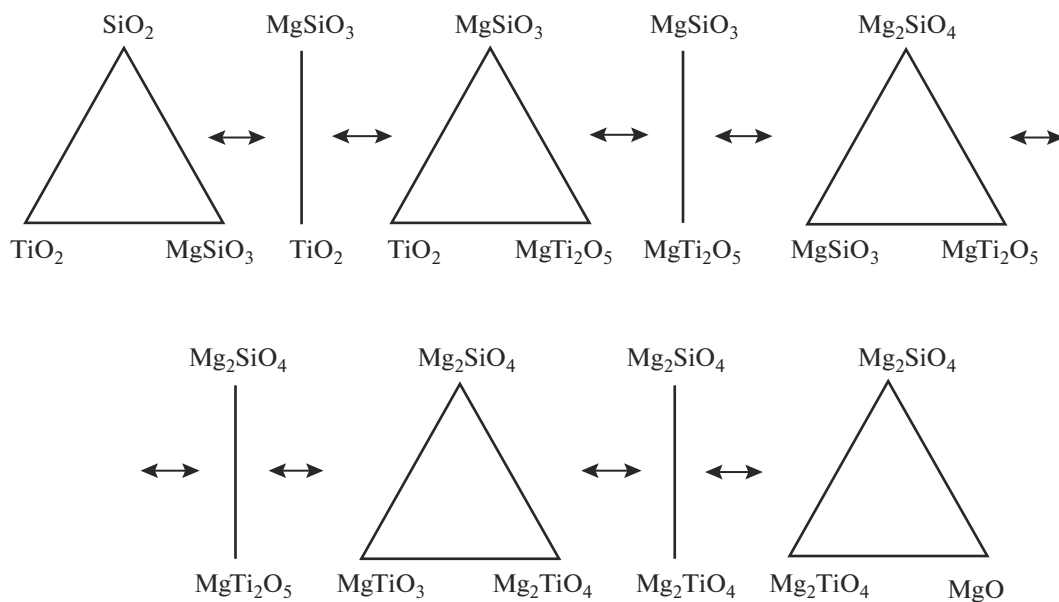


Рис. 2. Древо фаз системы $\text{MgO}-\text{SiO}_2-\text{TiO}_2$.

Таблица 1. Данные по индивидуальным веществам тройной системы $\text{MgO}-\text{SiO}_2-\text{TiO}_2$

Вещество	Температура плавления, °C	$\Delta_f H_{298}^\circ$, кДж/моль	$\Delta_f G_{298}^\circ$, кДж/моль
MgO	2825 ± 25	-601.491 ± 0.292	-569.254
TiO_2	1870 ± 15	-943.868 ± 0.962	-888.610
SiO_2	1728	-910.940 ± 1.422	-856.669
$\text{Mg}_2\text{TiO}_4 (D_1)$	1750 ± 15	-2164.000 ± 1.631	-2047.444
$\text{MgTiO}_3 (D_2)$	1660 ± 20	-1571.928 ± 1.464	-1483.587
$\text{MgTi}_2\text{O}_5 (D_3)$	1650 ± 20	-2507.889 ± 2.928	-2367.470 ± 3.472
$\text{MgSiO}_3 (D_4)$	1560 ± 5	-1548.946	-1462.098
$\text{Mg}_2\text{SiO}_4 (D_5)$	1887 ± 10	-2171.914 ± 2.092	-2052.929

Примечание. D – дистектика (соединение с конгруэнтным типом плавления).

Таблица 2. Данные по двухкомпонентным системам тройной системы $\text{MgO}-\text{SiO}_2-\text{TiO}_2$ [20]

Система	Данные по нонвариантным точкам	
	координаты точек	фазовые равновесия
$\text{TiO}_2-\text{SiO}_2$	m 1780°C, 7 мас. % SiO_2 ; n 81 мас. % SiO_2	$\mathbb{X}_m \rightleftharpoons \mathbb{X}_n + \text{TiO}_2$
	e 1550°C; 89.5 мас. % SiO_2	$\mathbb{X} \rightleftharpoons \text{SiO}_2 + \text{TiO}_2$
$\text{MgO}-\text{SiO}_2$	D_5 1890°C	$\mathbb{X} \rightleftharpoons \text{Mg}_2\text{SiO}_4$
	p_1 1557°C, 62 мас. % SiO_2	$\mathbb{X} + \text{Mg}_2\text{SiO}_4 \rightleftharpoons \text{MgSiO}_3$
	p_2 1543°C, 63.5 мас. % SiO_2	$\mathbb{X} + \text{MgSiO}_3 \rightleftharpoons \text{SiO}_2$
	m 1703°C	$\mathbb{X}_m \rightleftharpoons \mathbb{X}_n + \text{MgO}$
$\text{MgO}-\text{TiO}_2$	D_1 (~1490...1732°C)	$\mathbb{X} \rightleftharpoons \text{Mg}_2\text{TiO}_4$
	D_2 1630°C	$\mathbb{X} \rightleftharpoons \text{MgTiO}_3$
	D_3 1652°C	$\mathbb{X} \rightleftharpoons \text{MgTi}_2\text{O}_5$
	e_1 1707°C, 34.5 мас. % TiO_2	$\mathbb{X} \rightleftharpoons \text{MgO} + \text{Mg}_2\text{TiO}_4$
	e_2 1583°C, 61 мас. % TiO_2	$\mathbb{X} \rightleftharpoons \text{Mg}_2\text{TiO}_4 + \text{MgTiO}_3$
	e_3 1592°C, 72 мас. % TiO_2	$\mathbb{X} \rightleftharpoons \text{MgTiO}_3 + \text{MgTi}_2\text{O}_5$
	e_4 1606°C, 91 мас. % TiO_2	$\mathbb{X} \rightleftharpoons \text{MgTi}_2\text{O}_5 + \text{TiO}_2$

Примечание. m, n – монотектика (начало и окончание области расслаивания соответственно).

Таблица 3. Кристаллизующиеся фазы в стабильных и секущих элементах системы $\text{MgO}-\text{SiO}_2-\text{TiO}_2$

Стабильная секущая	Фазы	Стабильный треугольник	Фазы
$\text{TiO}_2-\text{MgSiO}_3$	$\text{TiO}_2, \text{MgSiO}_3$	$\text{TiO}_2-\text{SiO}_2-\text{MgSiO}_3$	$\text{TiO}_2, \text{SiO}_2, \text{MgSiO}_3$
$\text{MgTi}_2\text{O}_5-\text{MgSiO}_3$	$\text{MgTi}_2\text{O}_5, \text{MgSiO}_3$	$\text{TiO}_2-\text{MgSiO}_3-\text{MgTi}_2\text{O}_5$	$\text{TiO}_2, \text{MgSiO}_3, \text{MgTi}_2\text{O}_5$
$\text{MgTi}_2\text{O}_5-\text{Mg}_2\text{SiO}_4$	$\text{MgTi}_2\text{O}_5, \text{Mg}_2\text{SiO}_4$	$\text{MgSiO}_3-\text{MgTi}_2\text{O}_5-\text{Mg}_2\text{SiO}_4$	$\text{MgSiO}_3, \text{MgTi}_2\text{O}_5, \text{Mg}_2\text{SiO}_4$
$\text{MgTiO}_3-\text{Mg}_2\text{SiO}_4$	$\text{MgTiO}_3, \text{Mg}_2\text{SiO}_4$	$\text{MgTi}_2\text{O}_5-\text{Mg}_2\text{SiO}_4-\text{MgTiO}_3$	$\text{MgTi}_2\text{O}_5, \text{Mg}_2\text{SiO}_4, \text{MgTiO}_3$
$\text{Mg}_2\text{TiO}_4-\text{Mg}_2\text{SiO}_4$	$\text{Mg}_2\text{TiO}_4, \text{Mg}_2\text{SiO}_4$	$\text{MgTiO}_3-\text{Mg}_2\text{SiO}_4-\text{Mg}_2\text{TiO}_4$	$\text{MgTiO}_3, \text{Mg}_2\text{SiO}_4, \text{Mg}_2\text{TiO}_4$
		$\text{Mg}_2\text{TiO}_4-\text{Mg}_2\text{SiO}_4-\text{MgO}$	$\text{Mg}_2\text{TiO}_4, \text{Mg}_2\text{SiO}_4 (\text{OTP}), \text{MgO} (\text{OTP})$

Таблица 4. Элементы диаграммы, в которых протекают основные реакции

Точка диаграммы	Секущие		Четырехугольники
	нестабильные	стабильные	
K_1	MgTi ₂ O ₅ —SiO ₂	TiO ₂ —MgSiO ₃	TiO ₂ —SiO ₂ —MgSiO ₃ —MgTi ₂ O ₅
K_2	TiO ₂ —Mg ₂ SiO ₄	MgTi ₂ O ₅ —MgSiO ₃	TiO ₂ —MgSiO ₃ —Mg ₂ SiO ₄ —MgTi ₂ O ₅
K_3	MgTiO ₃ —SiO ₂	TiO ₂ —MgSiO ₃	MgTiO ₃ —MgSiO ₃ —SiO ₂ —TiO ₂
K_4	MgTiO ₃ —SiO ₂	MgTi ₂ O ₅ —MgSiO ₃	MgTiO ₃ —MgSiO ₃ —SiO ₂ —TiO ₂
K_5	MgTiO ₃ —SiO ₂	MgTi ₂ O ₅ —Mg ₂ SiO ₄	MgTiO ₃ —MgSiO ₃ —SiO ₂ —TiO ₂
K_6	Mg ₂ TiO ₄ —SiO ₂	TiO ₂ —MgSiO ₃	Mg ₂ TiO ₄ —Mg ₂ SiO ₄ —SiO ₂ —TiO ₂
K_7	Mg ₂ TiO ₄ —SiO ₂	MgTi ₂ O ₅ —MgSiO ₃	Mg ₂ TiO ₄ —Mg ₂ SiO ₄ —SiO ₂ —TiO ₂
K_8	Mg ₂ TiO ₄ —SiO ₂	MgTi ₂ O ₅ —Mg ₂ SiO ₄	Mg ₂ TiO ₄ —Mg ₂ SiO ₄ —SiO ₂ —TiO ₂
K_9	Mg ₂ TiO ₄ —SiO ₂	MgTiO ₃ —Mg ₂ SiO ₄	Mg ₂ TiO ₄ —Mg ₂ SiO ₄ —MgSiO ₃ —MgTiO ₃
K_{10}	MgTiO ₃ —MgSiO ₃	MgTi ₂ O ₅ —Mg ₂ SiO ₄	MgTiO ₃ —Mg ₂ SiO ₄ —MgSiO ₃ —MgTi ₂ O ₅
K_{11}	Mg ₂ TiO ₄ —MgSiO ₃	MgTi ₂ O ₅ —Mg ₂ SiO ₄	Mg ₂ TiO ₄ —Mg ₂ SiO ₄ —MgSiO ₃ —MgTi ₂ O ₅
K_{12}	Mg ₂ TiO ₄ —MgSiO ₃	MgTiO ₃ —Mg ₂ SiO ₄	Mg ₂ TiO ₄ —Mg ₂ SiO ₄ —MgSiO ₃ —MgTiO ₃

Таблица 5. Тепловые эффекты и энергии Гиббса реакций для смесей, отвечающих точкам эквивалентности K

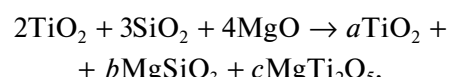
Точка конверсии	$\Delta_r H_{298}^\circ$, кДж	$\Delta_r G_{298}^\circ$, кДж
K_1	+17.853	+15.179
K_2	+28.150	+0.581
K_3	-9.946	-10.452
K_4	-2.033	-5.725
K_5	+10.960	+2.648
K_6	-55.880	-52.024
K_7	-93.907	-88.869
K_8	-166.760	-133.944
K_9	-76.830	-68.546
K_{10}	+12.999	+8.873
K_{11}	-72.793	-45.075
K_{12}	-30.896	-26.974

систему линейных уравнений для определения коэффициентов a , b и c :

$$\begin{cases} a = 2 = \text{Ti} \\ b + c = 3 = \text{Si} \\ c = 4, \\ a = 2, \quad c = 4, \quad b = -1. \end{cases}$$

Так как $b = -1$, то смесь после расплавления и кристаллизации не принадлежит фазовому треугольнику TiO₂—SiO₂—MgSiO₃.

Рассмотрим симплекс TiO₂—MgSiO₃—MgTi₂O₅ и проведем аналогичное описание:



$$\begin{cases} a + 2c = 2 = \text{Ti} \\ b + c = 4 = \text{Mg} \\ b = 3 = \text{Si} \\ a = 0, \quad b = 3, \quad c = 1. \end{cases}$$

Отрицательных коэффициентов нет, поэтому уравнение в окончательном виде можно записать как

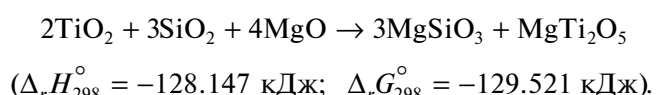


Таблица 6. Стабильные и нестабильные секущие

Стабильные секущие	Нестабильные секущие и соотношение веществ
$\text{TiO}_2-\text{MgSiO}_3 (K_1, K_2, K_3)$	$\text{SiO}_2-\text{MgTi}_2\text{O}_5$
	$\text{SiO}_2-\text{MgTiO}_3$
	(2) $\text{SiO}_2-\text{Mg}_2\text{TiO}_4$
$\text{MgSiO}_3-\text{MgTi}_2\text{O}_5 (K_4, K_5, K_6)$	(2) $\text{TiO}_2-\text{Mg}_2\text{SiO}_4$
	(2) $\text{MgTiO}_3-\text{SiO}_2$
	(2) $\text{Mg}_2\text{TiO}_4-(3) \text{SiO}_2$
$\text{MgTi}_2\text{O}_5-\text{Mg}_2\text{SiO}_4 (K_7, K_8, K_9, K_{10})$	(4) $\text{MgTiO}_3-\text{SiO}_2$
	(2) $\text{MgTiO}_3-\text{MgSiO}_3$
	(2) $\text{Mg}_2\text{TiO}_4-(3) \text{SiO}_2$
	$\text{Mg}_2\text{TiO}_4-\text{MgSiO}_3$
$\text{MgTiO}_3-\text{MgSiO}_4 (K_{11}, K_{12})$	(2) $\text{Mg}_2\text{TiO}_4-\text{SiO}_2$
	$\text{Mg}_2\text{TiO}_4-\text{MgSiO}_3$

Проверяем правильность написания по числу атомов кислорода в левой и правой частях уравнения реакции: $14 = 14$.

Таким образом, после расплавления и кристаллизации конечная смесь расположена на стабильной секущей $\text{MgSiO}_3-\text{MgTi}_2\text{O}_5$.

ОБСУЖДЕНИЕ РЕЗУЛЬТАТОВ

Древо фаз системы позволило провести прогноз кристаллизующихся после расплавления и кристаллизации фаз. Стабильным секущим отвечает несколько нестабильных секущих (табл. 6).

Как видно из табл. 6, стабильной секущей $\text{MgTi}_2\text{O}_5-\text{Mg}_2\text{SiO}_4$ отвечают четыре нестабильных секущих. Двум стабильным секущим $\text{TiO}_2-\text{MgSiO}_3$ и $\text{MgSiO}_3-\text{MgTi}_2\text{O}_5$ отвечают по три нестабильных секущих, а стабильной секущей $\text{MgTiO}_3-\text{MgSiO}_4$ соответствуют две нестабильные секущие.

Как видно из табл. 5, реакции в смесях, соответствующих точкам эквивалентности K_1, K_2, K_5, K_{10} , практически невозможны, так как для стандартных значений энергии Гиббса $\Delta_r G_{298}^\circ > 0$.

Не все возможные пересечения стабильных и нестабильных секущих могут быть описаны реакциями химического взаимодействия.

Энергия Гиббса $\Delta_r G_{298}^\circ$ смесей, отвечающих точкам эквивалентности K_1 и K_2 , больше нуля. Однако, как отмечается в работе [20], секущая $\text{TiO}_2-\text{MgSiO}_3$ является настолько стабильной, что TiO_2 и MgSiO_3 не реагируют между собой и при давлении 1.5 ГПа. Поэтому при высоких тем-

пературах вполне осуществимы реакции для смесей, отвечающих точкам K_1 и K_2 .

Используя метод атомного баланса, можно определять принадлежность сплавов из 3–8 исходных смесей после расплавления и кристаллизации к какому-либо стабильному симплексу системы. Таким образом, показана возможность синтеза стабильного сочетания фаз из исходных соединений.

ЗАКЛЮЧЕНИЕ

Построено фазовое древо системы $\text{MgO}-\text{SiO}_2-\text{TiO}_2$, имеющее линейное строение и включающее пять стабильных треугольников, соединяющихся между собой четырьмя стабильными секущими. На основании древа фаз проведен прогноз кристаллизующихся фаз и описаны основные реакции как для точек пересечения стабильных и нестабильных секущих, так и для различных сочетаний исходных веществ методом атомного баланса. Используя данный метод, можно проводить корректировку шихты из оксидов, двойных оксидов при определении смеси после расплавления и кристаллизации в соответствующем стабильном треугольнике.

БЛАГОДАРНОСТЬ

Работа выполнена при финансовой поддержке Минобрнауки РФ в рамках проектной части государственного задания № 0778-2020-0005.

СПИСОК ЛИТЕРАТУРЫ

1. Ilatovskaia M., Saenko I., Savinykh G. Experimental Study of Phase Equilibria in the $\text{Al}_2\text{O}_3-\text{MgO}-\text{TiO}_2$

- System and Thermodynamic Assessment of the Binary MgO–TiO₂ system // *J. Am. Ceram. Soc.* 2018. V. 101. № 11. P. 5198–5218.
2. *Guo C.H., Zhang Y.X.* Multicomponent Diffusion in Silicate Melts: SiO₂–TiO₂–Al₂O₃–MgO–CaO–Na₂O–K₂O System // *Geochim. Cosmochim. Acta.* 2019. V. 259. P. 412–412.
 3. *Федоров П.П.* Фазовые диаграммы систем дифторида свинца с трифтотиодами редкоземельных элементов // *Журн. неорган. химии.* 2021. Т. 66. № 2. С. 250–258.
<https://doi.org/10.31857/S0044457X21020070>
 4. *Шестаков В.А., Косяков В.И.* Особенности трансформации фазовой диаграммы трехкомпонентной системы со стехиометрическими соединениями при изменении параметров ее состояния // *Журн. неорган. химии.* 2021. Т. 66. № 3. С. 377–381.
<https://doi.org/10.31857/S0044457X21030168>
 5. *Shi J.J., Chen M., Santoso I.* 1250°C Liquidus for the CaO–MgO–SiO₂–Al₂O₃–TiO₂ System in Air // *Ceram. Int.* 2020. V. 46. № 2. P. 1545–1550.
 6. *Shi J.J., Chen M., Wan X.B.* Phase Equilibrium Study of the CaO–SiO₂–MgO–Al₂O₃–TiO₂ System at 1300°C and 1400°C in Air // *J. Mater.* 2020. V. 72. № 9. P. 3204–3212.
 7. *Юрченко Д.А., Евстропьев С.К., Шашкин А.В. и др.* Модифицирование MgO–Al₂O₃–TiO₂–SiO₂ стекла диффузией серебра для формирования люминесцентных молекулярных кластеров // Докл. Рос. акад. наук. Химия, науки о материалах. 2021. Т. 499. № 1. С. 40–44.
<https://doi.org/10.31857/S2686953521040099>
 8. *Nurgali N., Sariev O., Mukhambetkaliyev A., Momenov B., Kuandykova A., Abdrashev R.* Phase Composition Of Titanium-Containing Raw Materials Depending on its Titanium Oxide Content // *Metalurgija* (Zagreb, Croatia). 2021. V. 60. № 3–4. P. 374–376.
 9. *Алиев А.Р., Ахмедов И.Р., Кагагасанов М.Г., Алиев З.А.* Состояние кристаллической структуры Li₂SO₄, предшествующее фазовому переходу I рода // Неорган. материалы. 2020. Т. 56. № 3. С. 278–282.
<https://doi.org/10.31857/S0002337X20020025>
 10. *Бушуев Н.Н., Егорова А.Н., Тюльбенджян Г.С.* Система KLa(SO₄)₂–CaSO₄ // Неорган. материалы. 2021. Т. 57. № 2. С. 150–153.
<https://doi.org/10.31857/S0002337X21020044>
 11. *Гаматаева Е.Ю., Курбанова С.Н., Гасаналиев А.Н. и др.* Фазовые равновесия в системе LiCl–LiVO₃–V₂O₅ // Неорган. материалы. 2020. Т. 56. № 2. С. 145–150.
<https://doi.org/10.31857/S0002337X20020050>
 12. *Нипан Г.Д., Корнилов Д.Ю.* Фазовые равновесия в системе Li₂O–Al₂O₃–Ni–CO–O // Неорган. материалы. 2020. Т. 56. № 8. С. 854–859.
<https://doi.org/10.31857/S0002337X20070118>
 13. *Базарова Ж.Г., Логвинова А.В., Базаров Б.Г.* Фазообразование в системах Rb₂MoO₄–R₂(MoO₄)₃–ZR(MoO₄)₂ (R – Al, Fe, Cr, Y) // Неорган. материа-лы. 2020. Т. 56. № 12. С. 1350–1355.
<https://doi.org/10.31857/S0002337X20120040>
 14. *Вердиев Н.Н., Гаркушин И.К., Бурчаков А.В.* Фазовые равновесия в системе NaF–NaCl–NaBr–Na₂CrO₄ // Неорган. материалы. 2020. Т. 56. № 11. С. 1243–1251.
<https://doi.org/10.31857/S0002337X20110159>
 15. *Асадов М.М., Ахмедова Н.А., Мамедова С.Р. и др.* Фазовые равновесия и электрические свойства образцов Li₂O–B₂O₃–YB₂O₃ // Журн. неорган. химии. 2020. Т. 65. № 7. С. 974–981.
<https://doi.org/10.31857/S0044457X20070016>
 16. *Огарков А.И., Восков А.Л., Ковалев И.А. и др.* Термодинамическое моделирование фазовых равновесий в системе U–Zr–N // Неорган. материалы. 2021. Т. 57. № 8. С. 829–837.
<https://doi.org/10.31857/S0002337X21080236>
 17. *Данилушкина Е.Г., Гаркушин И.К., Таракова Н.С.* Исследование фазовых равновесий в трехкомпонентной взаимной системе K⁺, Ba²⁺||Br[–], MoO₄^{2–} // Неорган. материалы. 2021. Т. 57. № 12. С. 1337–1343.
<https://doi.org/10.31857/S0002337X21120046>
 18. *Сухаренко М.А., Гаркушин И.К., Зубкова А.В.* Фазовые равновесия в трехкомпонентной взаимной системе Na⁺, Ba²⁺||Br[–], SO₄^{2–} // Неорган. материалы. 2021. Т. 57. № 8. С. 852–860.
<https://doi.org/10.31857/S0002337X21080303>
 19. *Нипан Г.Д.* Фазовые равновесия в системе Cd–Ga–As–Te // Неорган. материалы. 2021. Т. 57. № 12. С. 1281–1285.
<https://doi.org/10.31857/S0002337X21120125>
 20. *Бережной А.С.* Многокомпонентные системы окислов. Киев: Наук. думка, 1970. 544 с.
 21. Термические константы веществ. База данных / Институт теплофизики экстремальных состояний Объединенного института высоких температур РАН, Химический факультет МГУ им. М.В. Ломоносова. <http://www.chem.msu.su/cgi-bin/tkv.pl?show=welcome.html> (дата обращения: 06.06.2022).
 22. *Радищев В.П.* Многокомпонентные системы / Под ред. Перельман Ф.М. М.: ИОНХ АН СССР, 1964. 502 с.
 23. *Сечной А.И., Гаркушин И.К.* Фазовый комплекс многокомпонентных систем и химическое взаимодействие. Самара: СамГТУ, 1999. 116 с.
 24. *Сечной А.И.* Моделирование равновесного состояния смесей фаз многокомпонентных физико-химических систем: автореф. дис. ... докт. хим. наук. Новосибирск. 2003. 39 с.
 25. *Афиногенов Ю.П., Гончаров Е.Г., Семенова Г.В., Зломанов В.П.* Физико-химический анализ многокомпонентных систем. М.: МФТИ, 2006. 332 с.
 26. *Garkushin I.K., Lavrenteva O.V., Shterenberga A.M.* Forecast of Crystallizing Phases and Description of the Chemical Interaction in the Al₂O₃–TiO₂–MgO System // *Glass Phys. Chem.* 2021. V. 47. № 6. P. 622–629.